

- [7] Шейхалиев Ш. М., Попель С. И. // Порошковая металлургия. 1982. № 3. С. 82—91.
 [8] Барлотов В. А., Коваленко В. П., Рудько А. М. // ЖТФ. 1988. Т. 58. Вып. 12. С. 2376—2379.
 [9] Абрамова К. Б., Златин Н. А., Перегуд Б. П. // ЖЭТФ. 1975. Т. 69. Вып. 6. С. 2007—2020.
 [10] Баланкин С. А., Горбачев Л. П., Григорьев Е. Г. и др. // ЖПМТФ. 1977. № 4. С. 61—65.
 [11] Баланкин А. С., Любомудров А. А., Севрюков И. Т., Яневич Г. Н. // Письма в ЖТФ. 1988. Т. 14. Вып. 13. С. 1226—1231.
 [12] Фатъянов В. М., Олемской А. И., Умрихин В. В. и др. // Изв. вузов. Физика. 1986. № 6. С. 3—8.
 [13] Плещанов А. С. // ЖПМТФ. 1988. № 5. С. 28—33.
 [14] Баланкин С. А., Быков И. И., Григорьев Е. Г. и др. // Письма в ЖТФ. 1983. Т. 9. Вып. 12. С. 760—764.

Поступило в Редакцию
5 января 1989 г.
В окончательной редакции
25 сентября 1989 г.

01; 05; 10; 11

Журнал технической физики, т. 60. в. 8, 1990

© 1990 г.

**МОДЕЛИРОВАНИЕ ПРОФИЛЯ КРАТЕРА
ПРИ РАСПЫЛЕНИИ ПОВЕРХНОСТИ ТВЕРДОГО ТЕЛА
СКАНИРУЮЩИМ ИОННЫМ ПУЧКОМ
В РЕЖИМЕ СПИРАЛЕВИДНОЙ РАЗВЕРТКИ**

Н. В. Коненков, А. Б. Толстогузов

Введение

Математическое моделирование профиля кратера при распылении ионным пучком [1—3] необходимо для повышения степени достоверности определения состава приповерхностной области твердого тела методами электронной и ионной спектроскопии [4].

Это связано с решением проблемы улучшения динамического диапазона и предела обнаружения примесей при послойном анализе методом масс-спектрометрии вторичных ионов (МСВИ) [5, 6] за счет подавления «эффекта кратера» [6, 7], т. е. устранения вклада вторичных ионов со стенок кратера в сигнал, измеряемый со дна кратера. Сюда же примыкает и задача о восстановлении истинного распределения концентрации примеси по экспериментальным измерениям интенсивности масс-пиков вторичных ионов в зависимости от времени распыления [8, 9]. По результатам математического моделирования можно выбрать оптимальную форму и период сканирующего напряжения, задать размеры «электронной диафрагмы» в системе регистрации [1, 10], дискретность получения информации о профиле послойного анализа и другие характеристики.

Есть сообщения об использовании для распыления образцов в методе МСВИ спиралевидной развертки (СР) [11—13], при которой ионный пучок совершает движение по спирали от центра раstra к его периферийной области и обратно.

Однако вплоть до настоящего времени спиралевидная развертка ионного пучка не нашла широкого применения в установках МСВИ, в том числе в сканирующих ионных микрозондах [14], несмотря на то что СР имеет преимущества по сравнению с традиционной прямоугольной в вопросах аппаратной реализации [12].

Одним из обстоятельств, сдерживающих применение СР, является отсутствие информации о профиле кратера распыления и в первую очередь о наличии в нем достаточно большого плоского dna. Данная работа призвана восполнить этот недостаток, осветив вопросы формирования профиля кратера распыления в режиме спиралевидной развертки в зависимости от закона ее изменения во времени, количества витков, степени их перекрытия и других факторов.

Постановка задачи и исходные данные

1. Первичный ионный пучок аксиально симметричен и распределение плотности тока в нем подчиняется закону Гаусса [1]

$$j(r) = \frac{I_0}{\pi r_0^2} \exp\left(-\frac{r^2}{r_0^2}\right) = j_0 \exp\left(-\frac{r^2}{r_0^2}\right), \quad (1)$$

где I_0 — полный ионный ток; j_0 — максимальное значение плотности ионного тока; r_0 — ширина распределения на уровне 0.78 j_0 , т. е. эффективный диаметр ионного пучка.

Распределение плотности тока по Гауссу широко применяется в различных расчетах [1-3] и с достаточной степенью точности характеризует профиль плотности тока для большинства ионных пучков, используемых при послойном анализе методом МСВИ.

2. Сканирование оси ионного пучка по поверхности исследуемого образца происходит по спирали Архимеда [15]

$$\rho(t) := a\varphi(t) = \frac{k}{2\pi} \varphi(t), \quad (2)$$

где ρ и φ — полярные координаты оси, проходящей через центр ионного пучка; a — масштаб; k — шаг спирали.

Существуют и другие виды спиралевидной развертки (например, логарифмическая спираль [15]), однако спираль Архимеда относится к простейшим и легко реализуется на практике при подаче на плоскопараллельные отклоняющие пластины ионной пушки синусоидальных напряжений, сдвинутых по фазе на $\pi/2$ [11].

Возможны два основных варианта развертки пучка по закону Архимеда: 1) с постоянной угловой скоростью

$$\omega = \frac{d\varphi}{dt} = \text{const}, \quad (3)$$

2) с постоянной линейной скоростью

$$v_L = \frac{dL}{dt} = a\varphi \frac{d\varphi}{dt} = \text{const}, \quad (4)$$

где dL — элемент длины спирали.

Первый вариант приводит к сильной неоднородности кратера по глубине в зависимости от его радиуса, что делает такой кратер практически непригодным для послойного анализа. Поэтому вариант СР с постоянной угловой скоростью в данной работе не рассматривается.

3. Обозначим через $2T$ период развертки, а через N — число витков спирали. Будем считать, что за время T угол φ в выражении (2) изменяется от 0 до $2\pi N$ (прямой ход), а затем также за T от $2\pi N$ до 0 (обратный ход.)

Учитывая выражения (2) и (4), для прямого хода получаем

$$\rho(t) = 2\pi aN \sqrt{\frac{t}{T}} = kN \sqrt{\frac{t}{T}} = \rho_{\max} \sqrt{\frac{t}{T}}, \quad (5)$$

а для обратного

$$\rho(t) = 2\pi aN \sqrt{1 - \frac{t}{T}} = kN \sqrt{1 - \frac{t}{T}} = \rho_{\max} \sqrt{1 - \frac{t}{T}}. \quad (6)$$

Из выражений (5) и (6) следует, что время пребывания пучка на n -м витке спирали составляет

$$\Delta t_n = \frac{2n-1}{N^2} T. \quad (7)$$

4. Линейная скорость сканирующего пучка v_L , т. е. скорость, с которой ось пучка перемещается по поверхности образца, должна быть намного меньше скорости первичных ионов

$$v_L \ll \sqrt{\frac{2qU_{\text{век}}}{m}}, \quad (8)$$

где q — заряд, m — масса бомбардирующего иона, $U_{\text{век}}$ — ускоряющее напряжение.

Выполнение условия (8) дает возможность пренебречь эффектами сдвига фазы в процессе сканирования ионного пучка по поверхности образца.

5. Скорость распыления образца в любой точке на его поверхности прямо пропорциональна плотности ионного тока в этой точке, т. е. возможность деформации плоскости первоначальной поверхности вследствие образования микро- или макроскопических неровностей (поверхностной топографии) пренебрежимо мала. Это экспериментально подтверждается при распылении полупроводниковых и диэлектрических материалов [16].

6. Исходная поверхность образца однородная и идеально гладкая, а ионный пучок падает по нормали к поверхности.

Результаты вычислений и их обсуждение

Решение задачи математического моделирования профиля кратера распыления сводится в первую очередь к определению зависимости плотности ионного тока от координат точек раstra.

Плотность ионного тока в окрестности точки P , расположенной на витке спирали C (рис. 1), можно представить в виде

$$J(r, \theta) = \frac{\Delta q}{2T\Delta s} = \frac{1}{2T} \int_0^{2T} j[|\mathbf{r} - \mathbf{r}(t)|] dt, \quad (9)$$

где Δq — суммарный ионный заряд, прошедший через площадку Δs за время $2T$.

Используя теорему косинусов, преобразуем выражение (9) к виду

$$J(r, \theta) = \frac{j_0}{2T} \int_0^{2T} \exp \left\{ \frac{r^2 + \rho^2(t) - 2r\rho(t) \cos[\varphi(t) - \theta]}{r_0^2} \right\} dt. \quad (10)$$

В дальнейшем для упрощения вычислений примем в качестве единицы времени T , а единицы длины — r_0 . Тогда с учетом (5) и (6) получаем выражение

$$J(r, \theta) = \frac{j_0 \exp(-r^2)}{2} \int_0^1 [F_1(t) + F_2(t)] dt, \quad (11)$$

где $F_1(t)$ и $F_2(t)$ — функции, соответствующие прямому и обратному ходу CP , причем

$$F_1(t) = \exp[(2\pi aN)^2 t - 4\pi aNr\sqrt{t} \cos(2\pi N\sqrt{t} - \theta)], \quad (12)$$

$$F_2(t) = \exp[(2\pi aN)^2 (1-t) - 4\pi aNr\sqrt{1-t} \cos(2\pi N\sqrt{1-t} - \theta)]. \quad (13)$$

Наличие подэкспоненциального гармонического множителя в функциях $F_1(t)$ и $F_2(t)$ приводит к тому, что интеграл (11) в явном виде не берется, поэтому интегрирование выражения (11) проводилось численным методом Симпсона [15] за ЭВМ ВУМС-128-013. Шаг интегрирования Δt выбирался равным $1/4N^2$ с тем, чтобы на первом витке спирали в соответствии с выражением (7) имелось хотя бы четыре расчетные точки. В процессе вычисления варьировалось количество витков N и степень перекрытия λ двух соседних витков

$$\lambda = \frac{2\pi a}{r_0} = \frac{k}{r_0}. \quad (14)$$

Расчеты показали, что достаточная однородность в профиле распределения плотности ионного тока достигается при $\lambda \leq 1$ (рис. 2). Отклонение в центре (кривая 2 на рис. 2) обусловлено особенностью поведения CP в начале координат и конечным шагом интегрирования Δt . Необходимо отметить и некоторую асимметрию по θ вследствие асимметрии спирали Архимеда. При $\lambda > 1$ характерно появление максимумов, отстоящих друг от друга на расстоянии $\Delta r = 2\pi a = k$ (кривая 1 на рис. 2).

Было установлено, что величина тангенса угла наклона кривой $J(r, \theta)$ к оси r практически не зависит от значений N и λ , а определяется характером распределения плотности ионного тока в исходном пучке. Величина J_0 , подсчитанная для плоской части $J(r, \theta)$, оказывается равной

$$J_0 = \frac{j_0}{(\lambda N)^2}. \quad (15)$$

Приведем зависимость радиуса плоской части r_{kp} профиля распределения плотности ионного тока от количества витков N при $\lambda=0.5$ (рис. 3). Значение r_{kp} определялось на уровне

$0.99J_0$. Забегая несколько вперед отметим, что выбор критерия $0.99J_0$ базировался на данных работы [1], согласно которым разрешение по глубине $\Delta Z/Z$ при послойном анализе методом МСВИ в лучшем случае составляет $1-5\%$.

Все предыдущие результаты, полученные в данной работе, касались профиля плотности ионного тока $J(r, \theta)$, усредненного по времени за период спиралевидной развертки $2T$. Переход к профилю кратера распыления можно осуществить согласно [1] по формуле

$$Z(r, \theta, t) = \frac{S_p t}{q C_0} J(r, \theta), \quad (16)$$

где Z — глубина кратера; S_p — коэффициент распыления образца; q — заряд бомбардирующего иона; C_0 — абсолютная концентрация атомов образца; t — время распыления, кратное $2T$.

Подобный переход возможен в том случае, если глубина кратера гораздо меньше диаметра ионного пучка [1], что обычно всегда реализуется при послойном анализе методом МСВИ [6]. Таким образом, профили кратеров распыления с точностью до постоянного множителя соответствуют профилям плотности ионного тока.

С другой стороны, в работе [2] показано, что при соизмеримых величинах Z и r_0 эволюция профиля кратера в процессе распыления во многом обусловлена изменением величины S_p из-за изменения угла падения ионного пучка на стенки кратера. Этот подход к проблеме кратерообразования нашел дальнейшее развитие в работе [3]. Ситуация, в которой глубина кратера оказывается соизмеримой с диаметром

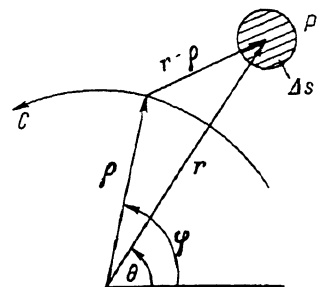


Рис. 1. К расчету плотности ионного тока $J(r, \theta)$ в окрестности точки P .

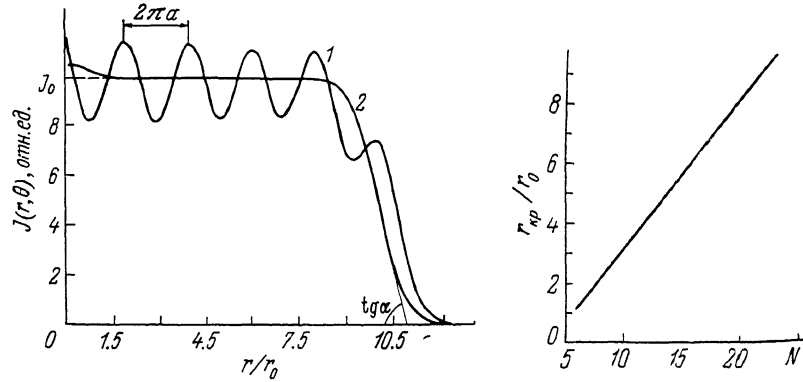


Рис. 2. Распределение плотности ионного тока $J(r, \theta)$ по сечению растра в зависимости от параметров N и λ .

1 — $N=10, \lambda=2$; 2 — $N=30, \lambda=1/3; \theta=0$

Рис. 3. Зависимость радиуса плоской части дна кратера $r_{p\theta}$, определенного по критерию $0.99 J_0$, от количества витков спирали N при $\lambda=0.5$.

ионного пучка, реализуется в настоящее время только для жидкокристаллических автоионных источников с субмикронными размерами r_0 [14]. Область применения таких источников в основном ограничена режимами получения изображений (микрограмм) исследуемой поверхности во вторичных электронах и ионах [16], поэтому в данной работе, посвященной вопросам математического моделирования профиля кратера распыления при послойном анализе методом МСВИ, этот случай не рассматривается.

Выводы

- Предложен метод расчета профиля кратера распыления при детерминированном во времени законе развертки (спираль Архимеда).
- Показано, что плоское однородное дно кратера образуется при параметре перекрытия соседних витков $\lambda \leq 1$.

3. Угол наклона стенок кратера практически не зависит от количества витков N и параметра λ .

4. В центре кратера наблюдается неоднородность по глубине, для исключения которой «электронная диафрагма» должна стробировать центральный участок с $\theta \leqslant 90^\circ$.

5. Выбор оптимального количества витков спирали должен учитывать параметр перекрытия витков λ и зависимость плотности тока от N и λ . Например, при $\lambda=0.5$ и $N=10$ плоская часть дна кратера по критерию $0.99Z_0$ составляет около 65 % его площади, подсчитанной по ρ_{\max} .

Дальнейшая работа предполагает практическую реализацию спиралевидной развертки в ионном микрозонде.

Список литературы

- [1] Wittmaack K. // Appl. Phys. 1977. Vol. 12. N 1. P. 149—156.
- [2] Проценко А. Н., Чайковский Э. Ф. // Поверхность. 1985. № 9. С. 43—46.
- [3] Злобин В. А., Коломейцев М. И., Наумов А. Э. // Поверхность. 1987. № 8. С. 144—146.
- [4] Электронная и ионная спектроскопия твердых тел / Под ред. Л. Фирмэнса, Дж. Вэнника, В. Декейсера. М.: Мир, 1981. 467 с.
- [5] Черепин В. Т. Ионный зонд. Киев: Наукова Думка, 1981. 328 с.
- [6] Волков С. С., Толстогузов А. Б. // Обзоры по электронной технике. Технология, организация производства и оборудование. М., 1988. Вып. 4 (1338). 48 с.
- [7] Magee C. W. // Surf. Interf. Anal. 1982. Vol. 4. N 2. P. 35—41.
- [8] Чайковский Э. Ф., Проценко А. Н. // ЖТФ. 1985. Т. 55. Вып. 1. С. 158—161.
- [9] Гурьянов Г. М. // Тр. ЛПИ им. М. И. Калинина. 1983. № 397. С. 57—61.
- [10] Hofer W. O., Liebl H., Roos G., Staudenmaier G. // Inter. J. Mass Spectr. Ion Phys. 1976. Vol. 19. P. 327—334.
- [11] Liebl H. // Low-energy Ion Beams. Conf. series. Bristol; London, 1977. N 38. P. 266—281.
- [12] Усманов Р. Д. // ПТЭ. 1988. № 4. С. 142—144.
- [13] Scholze Chr., Frenzel H., Maul J. L. // J. Vac. Sci. Technol. A. 1987. Vol. 5. N 4. P. 1247—1249.
- [14] Денисов А. Г., Волков С. С., Толстогузов А. Б. // Обзоры по электронной технике. Технология, организация производства и оборудование. М., 1987. Вып. 9 (1283). 61 с.
- [15] Бронштейн И. Н., Семеняев К. А. Справочник по математике. М.: Наука, 1967. 608 с.
- [16] Schulz F., Wittmaack K., Maul J. L. // Rad. Effects. 1973. Vol. 18. N 2. P. 211—215.

Поступило в Редакцию
27 марта 1989 г.
В окончательной редакции
10 мая 1989 г.